

This map was produced by Natural Resources Canada in co-operation with Health Canada.

Cette carte a été produite par Ressources naturelles Canada en collaboration avec Santé Canada.

#### GSC OPEN FILE 6742 / DOSSIER PUBLIC 6742 DE LA CGC

#### GEOPHYSICAL SERIES / SÉRIE DES CARTES GÉOPHYSIQUES NTS 63 C, 63 D, 63 E et 63 F / SNRC 63 C, 63 D, 63 E et 63 F

#### AIRBORNE GEOPHYSICAL SURVEY, SWAN RIVER, MANITOBA-SASKATCHEWAN LEVÉ GÉOPHYSIQUE AÉROPORTÉ, SWAN RIVER, MANITOBA-SASKATCHEWAN

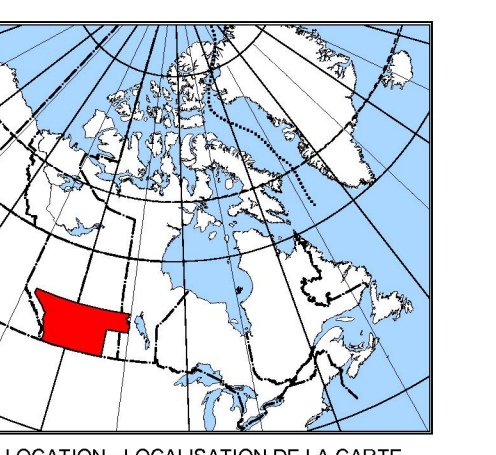
**Authors:** Carson, J.M., Ford, K.L., Hefford, S.,  
Fortin, R. and Harvey, B.J.A.  
Data acquisition, compilation and map production by Fugro Airborne Surveys, Ottawa, Ontario. Contract and project management by the Geological Survey of Canada, Ottawa, Ontario.

**Auteurs:** Carson, J.M., Ford, K.L., Hefford, S.,  
Fortin, R. et Harvey, B.J.A.  
L'acquisition, la compilation et la production des données ainsi que la production des cartes furent effectuées par Fugro Airborne Surveys, Ottawa, Ontario. La gestion et la supervision du programme effectuées par la Commission géologique du Canada, Ottawa, Ontario.

#### URANIUM/THORIUM

Scale 1:500 000 - Échelle 1/500 000

Kilometres  
10 0 10 20 30 40 Kilometres  
NAD83 / UTM zone 13N



Universal Transverse Mercator Projection  
Northing 4000000 to 4400000  
© Her Majesty the Queen in Right of Canada 2011  
Système de projection transversale universelle de Mercator  
Système de référence : WGS 84  
© Son Excellence le Reine du chef du Canada 2011  
Digital Topographic Data provided by Geomatics Canada, Natural Resources Canada  
Données topographiques numériques de Geomatics Canada, Ressources naturelles Canada

AIRBORNE GEOPHYSICAL SURVEY  
A quantitative gamma-ray spectrometric airborne geophysical survey of Southern Alberta, Southern Saskatchewan, and West-central Manitoba was completed by Fugro Airborne Surveys. The survey was flown from August 4th to September 27th, 2010 using a Cessna 208B Caravan aircraft (C-GNCA) and a Cessna 404 Caravan aircraft (C-FYAU). The nominal traverse line spacing was 5000 m, and the aircraft flew at a nominal terrain clearance of 150 m at an air speed between 200 and 270 km/h. Traverse lines were oriented 90°. The flight path was recovered following post-flight differential corrections to raw data recorded by a Global Positioning System.

#### Gamma-ray Spectrometric Data

The airborne gamma-ray measurements were made with Exploranium GR-500 gamma-ray spectrometers. Each detector system consisted of fourteen 102 x 409 mm NaI (Tl) crystals. The main detector arrays consisted of twelve crystals (total volume 5.04 litres), shielded by the main arrays, for detecting variations in background radiation caused by atmospheric radon. The systems constantly monitored the natural thorium peak for each crystal, and using a Gaussian least squares algorithm, adjusted the gain for each crystal.

Potassium is measured directly from the 1460 keV gamma photons emitted by  $K^{40}$ , whereas uranium and thorium are measured indirectly from gamma-ray photons emitted by daughter products ( $B^{37}$  for uranium and  $T^{228}$  for thorium). Although these daughters are far down their respective decay chains, they are assumed to be in equilibrium; thus gamma-ray spectrometric measurements of uranium and thorium are equivalent to equivalent uranium and equivalent thorium, i.e.  $\mu\text{Ci}/\text{t}^{\text{hr}}$ . The energy windows used to measure potassium, uranium and thorium are, respectively: 1370 – 1570 keV, 1660 – 1860 keV, and 2410 – 2810 keV.

Gamma-ray spectra were recorded at one-second intervals. During processing, the spectra were energy calibrated, and the counts were accumulated into the windows described above. Counts from the radon detectors were recorded in a 1660 – 1860 keV window and radiation at energies greater than 3000 keV was recorded in the cosmic window. The window counts were corrected for dead time, background activity from cosmic radiation, radioactivity of the aircraft and atmospheric radon decay products. The raw data with their corresponding spectra were then corrected for density and altitude. Corrections for density used the planned terrain model and for vertical velocity used pressure and mass flow conversion factors. The correction factors of potassium, uranium and thorium were, respectively, 74.385 cps%, 7.457 cps/ppm, and 4.826 cps/ppm for C-FYAU and 78.92 cps%, 6.07 cps/ppm, and 5.32 cps/ppm for C-GNCA.

Corrected data were filtered and interpolated to a 500 m grid interval. The results of an airborne gamma-ray spectrometer represent the average surface concentrations that are influenced by varying amounts of cut-off, overburden, vegetation cover, soil moisture and surface water. As a result the measured concentrations are usually lower than the actual bedrock concentrations. The natural air absorbed dose rate in nanograys per hour was computed from the measured concentrations of potassium, uranium and thorium. A more comprehensive description of airborne gamma-ray spectrometry surveys including technical specifications, instrumentation, data processing and interpretation is covered by Grasty et al., (1991), Grasty and Minty (1995), and the International Atomic Energy Agency (2003) and references therein.

#### LEVÉ GÉOPHYSIQUE AÉROPORTÉ

Un levé géophysique aéroporté de spectrométrie gamma a été réalisé dans le sud de l'Alberta, le sud de la Saskatchewan, et le centre-ouest du Manitoba par la société Fugro Airborne Surveys. Le levé a été effectué du 4 août au 27 septembre 2010 à l'aide d'un aéronef Cessna 208B Caravan (C-GNCA) et un Cessna 404 Caravan (C-FYAU). L'espacement nominal des lignes de vol était de 5000 m, alors que l'altitude nominale de levé était de 150 m au-dessus du sol et que la vitesse était de 200 à 270 km/h. Les lignes de vol étaient orientées à 90°. La trajectoire de vol a été restituée par l'application après le vol de corrections différentes aux données brutes enregistrées avec un récepteur GPS.

#### Données de spectrométrie gamma

Les mesures de rayonnement gamma ont été effectuées respectivement à l'aide d'un spectromètre gamma Exploranium GR-500, utilisant quatorze cristaux de NaI de 102 x 409 mm (5.04 litres), protégés par le réservoir principal, ont été utilisés pour déceler les variations du rayonnement naturel causées par le radon atmosphérique. Le dispositif permettait de faire un suivi constant des pics du thorium pour chacun des cristaux et, au moyen d'un algorithme d'ajustement gaussien par la méthode des moindres carrés, de compenser le gain pour chacun des cristaux.

Le potassium est mesuré directement à partir des photons gamma de 1460 keV émis par le  $K^{40}$ , tandis que l'uranium et le thorium sont mesurés indirectement à partir des photons gamma émis par des produits de filtre ( $B^{37}$  pour l'uranium et  $T^{228}$  pour le thorium). Bien que ces radionucléides soient émis loin de leur chaîne respective de désintégration, on presume qu'ils sont en équilibre avec leur radionucléide père; ainsi, les mesures spectrométriques du rayonnement gamma de l'uranium et du thorium sont désignées comme des équivalents d'uranium et des équivalents de thorium, soit  $\mu\text{Ci}/\text{t}^{\text{hr}}$ . Les plages d'énergie utilisées pour mesurer le potassium, l'uranium et le thorium sont respectivement de 1 370 à 1 570 keV, de 1 660 à 1 860 keV et de 2 410 à 2 810 keV.

Les spectres du rayonnement gamma ont été enregistrés pendant des intervalles d'une seconde. Pendant les trajets, les spécimens ont été soumis à un étalement temporel pour assurer une accumulation de données dans les plages énergétiques. Les coups solaires à bord ont été corrigés pour tenir compte de l'absorption de fond du rayonnement cosmique. Les coups enregistrés dans les plages ont été corrigés pour tenir compte du temps mort, du rayonnement de fond du rayonnement cosmique, de la radioactivité de l'aéronef et des produits de désintégration du radon atmosphérique. Les données pour les plages ont ensuite été corrigées pour tenir compte de la diffusion spectrale dans le sol, l'air et les capteurs. Les corrections pour les écarts à la hauteur de vol prévus et la température de l'air ont également été effectuées. Les corrections pour les concentrations équivalentes au-dessus du niveau de la mer, de l'uranium, en fonction de la fraction de radon dans les résultats, ont également été effectuées au-dessus d'une bande d'étalonnage à Breckenridge, Québec. Les facteurs déterminés pour le potassium, l'uranium et le thorium étaient respectivement de 78.92 cps%, 6.07 cps/ppm, et 5.32 cps/ppm pour C-GNCA et de 74.39 cps%, 7.46 cps/ppm, et 4.823 cps/ppm pour C-FYAU.

Un filtre a été appliqué aux données corrigées, qui ont ensuite été interpolées suivant une grille à maille de 500 m. Les résultats d'un levé aérien de spectrométrie gamma représentent les concentrations moyennes à la surface, qui sont influencées par les études variables des affleurements, des mors-terrains, de la couverture végétale et de l'eau de surface. Par conséquent, les concentrations mesurées sont habituellement plus faibles que les concentrations réelles dans le substratum rocheux. Le débit naturel et la dose absorbée par l'air, en nanograys à l'heure, a été déterminé d'après les concentrations mesurées de potassium, d'uranium et de thorium. Les corrections pour la concentration équivalente au-dessus du niveau de la mer, de l'uranium, en fonction de la fraction de radon dans les résultats, ont également été effectuées au-dessus d'une bande d'étalonnage à Breckenridge, Québec. Les facteurs déterminés pour le potassium, l'uranium et le thorium étaient respectivement de 78.92 cps%, 6.07 cps/ppm, et 5.32 cps/ppm pour C-GNCA et de 74.39 cps%, 7.46 cps/ppm, et 4.823 cps/ppm pour C-FYAU.

Un filtre a été appliqué aux données corrigées, qui ont ensuite été interpolées suivant une grille à maille de 500 m. Les résultats d'un levé aérien de spectrométrie gamma représentent les concentrations moyennes à la surface, qui sont influencées par les études variables des affleurements, des mors-terrains, de la couverture végétale et de l'eau de surface. Par conséquent, les concentrations mesurées sont habituellement plus faibles que les concentrations réelles dans le substratum rocheux. Le débit naturel et la dose absorbée par l'air, en nanograys à l'heure, a été déterminé d'après les concentrations mesurées de potassium, d'uranium et de thorium. Les corrections pour la concentration équivalente au-dessus du niveau de la mer, de l'uranium, en fonction de la fraction de radon dans les résultats, ont également été effectuées au-dessus d'une bande d'étalonnage à Breckenridge, Québec. Les facteurs déterminés pour le potassium, l'uranium et le thorium étaient respectivement de 78.92 cps%, 6.07 cps/ppm, et 5.32 cps/ppm pour C-GNCA et de 74.39 cps%, 7.46 cps/ppm, et 4.823 cps/ppm pour C-FYAU.

Un filtre a été appliqué aux données corrigées, qui ont ensuite été interpolées suivant une grille à maille de 500 m. Les résultats d'un levé aérien de spectrométrie gamma représentent les concentrations moyennes à la surface, qui sont influencées par les études variables des affleurements, des mors-terrains, de la couverture végétale et de l'eau de surface. Par conséquent, les concentrations mesurées sont habituellement plus faibles que les concentrations réelles dans le substratum rocheux. Le débit naturel et la dose absorbée par l'air, en nanograys à l'heure, a été déterminé d'après les concentrations mesurées de potassium, d'uranium et de thorium. Les corrections pour la concentration équivalente au-dessus du niveau de la mer, de l'uranium, en fonction de la fraction de radon dans les résultats, ont également été effectuées au-dessus d'une bande d'étalonnage à Breckenridge, Québec. Les facteurs déterminés pour le potassium, l'uranium et le thorium étaient respectivement de 78.92 cps%, 6.07 cps/ppm, et 5.32 cps/ppm pour C-GNCA et de 74.39 cps%, 7.46 cps/ppm, et 4.823 cps/ppm pour C-FYAU.

Un filtre a été appliqué aux données corrigées, qui ont ensuite été interpolées suivant une grille à maille de 500 m. Les résultats d'un levé aérien de spectrométrie gamma représentent les concentrations moyennes à la surface, qui sont influencées par les études variables des affleurements, des mors-terrains, de la couverture végétale et de l'eau de surface. Par conséquent, les concentrations mesurées sont habituellement plus faibles que les concentrations réelles dans le substratum rocheux. Le débit naturel et la dose absorbée par l'air, en nanograys à l'heure, a été déterminé d'après les concentrations mesurées de potassium, d'uranium et de thorium. Les corrections pour la concentration équivalente au-dessus du niveau de la mer, de l'uranium, en fonction de la fraction de radon dans les résultats, ont également été effectuées au-dessus d'une bande d'étalonnage à Breckenridge, Québec. Les facteurs déterminés pour le potassium, l'uranium et le thorium étaient respectivement de 78.92 cps%, 6.07 cps/ppm, et 5.32 cps/ppm pour C-GNCA et de 74.39 cps%, 7.46 cps/ppm, et 4.823 cps/ppm pour C-FYAU.

Un filtre a été appliqué aux données corrigées, qui ont ensuite été interpolées suivant une grille à maille de 500 m. Les résultats d'un levé aérien de spectrométrie gamma représentent les concentrations moyennes à la surface, qui sont influencées par les études variables des affleurements, des mors-terrains, de la couverture végétale et de l'eau de surface. Par conséquent, les concentrations mesurées sont habituellement plus faibles que les concentrations réelles dans le substratum rocheux. Le débit naturel et la dose absorbée par l'air, en nanograys à l'heure, a été déterminé d'après les concentrations mesurées de potassium, d'uranium et de thorium. Les corrections pour la concentration équivalente au-dessus du niveau de la mer, de l'uranium, en fonction de la fraction de radon dans les résultats, ont également été effectuées au-dessus d'une bande d'étalonnage à Breckenridge, Québec. Les facteurs déterminés pour le potassium, l'uranium et le thorium étaient respectivement de 78.92 cps%, 6.07 cps/ppm, et 5.32 cps/ppm pour C-GNCA et de 74.39 cps%, 7.46 cps/ppm, et 4.823 cps/ppm pour C-FYAU.

Un filtre a été appliqué aux données corrigées, qui ont ensuite été interpolées suivant une grille à maille de 500 m. Les résultats d'un levé aérien de spectrométrie gamma représentent les concentrations moyennes à la surface, qui sont influencées par les études variables des affleurements, des mors-terrains, de la couverture végétale et de l'eau de surface. Par conséquent, les concentrations mesurées sont habituellement plus faibles que les concentrations réelles dans le substratum rocheux. Le débit naturel et la dose absorbée par l'air, en nanograys à l'heure, a été déterminé d'après les concentrations mesurées de potassium, d'uranium et de thorium. Les corrections pour la concentration équivalente au-dessus du niveau de la mer, de l'uranium, en fonction de la fraction de radon dans les résultats, ont également été effectuées au-dessus d'une bande d'étalonnage à Breckenridge, Québec. Les facteurs déterminés pour le potassium, l'uranium et le thorium étaient respectivement de 78.92 cps%, 6.07 cps/ppm, et 5.32 cps/ppm pour C-GNCA et de 74.39 cps%, 7.46 cps/ppm, et 4.823 cps/ppm pour C-FYAU.

Un filtre a été appliqué aux données corrigées, qui ont ensuite été interpolées suivant une grille à maille de 500 m. Les résultats d'un levé aérien de spectrométrie gamma représentent les concentrations moyennes à la surface, qui sont influencées par les études variables des affleurements, des mors-terrains, de la couverture végétale et de l'eau de surface. Par conséquent, les concentrations mesurées sont habituellement plus faibles que les concentrations réelles dans le substratum rocheux. Le débit naturel et la dose absorbée par l'air, en nanograys à l'heure, a été déterminé d'après les concentrations mesurées de potassium, d'uranium et de thorium. Les corrections pour la concentration équivalente au-dessus du niveau de la mer, de l'uranium, en fonction de la fraction de radon dans les résultats, ont également été effectuées au-dessus d'une bande d'étalonnage à Breckenridge, Québec. Les facteurs déterminés pour le potassium, l'uranium et le thorium étaient respectivement de 78.92 cps%, 6.07 cps/ppm, et 5.32 cps/ppm pour C-GNCA et de 74.39 cps%, 7.46 cps/ppm, et 4.823 cps/ppm pour C-FYAU.

Un filtre a été appliqué aux données corrigées, qui ont ensuite été interpolées suivant une grille à maille de 500 m. Les résultats d'un levé aérien de spectrométrie gamma représentent les concentrations moyennes à la surface, qui sont influencées par les études variables des affleurements, des mors-terrains, de la couverture végétale et de l'eau de surface. Par conséquent, les concentrations mesurées sont habituellement plus faibles que les concentrations réelles dans le substratum rocheux. Le débit naturel et la dose absorbée par l'air, en nanograys à l'heure, a été déterminé d'après les concentrations mesurées de potassium, d'uranium et de thorium. Les corrections pour la concentration équivalente au-dessus du niveau de la mer, de l'uranium, en fonction de la fraction de radon dans les résultats, ont également été effectuées au-dessus d'une bande d'étalonnage à Breckenridge, Québec. Les facteurs déterminés pour le potassium, l'uranium et le thorium étaient respectivement de 78.92 cps%, 6.07 cps/ppm, et 5.32 cps/ppm pour C-GNCA et de 74.39 cps%, 7.46 cps/ppm, et 4.823 cps/ppm pour C-FYAU.

Un filtre a été appliqué aux données corrigées, qui ont ensuite été interpolées suivant une grille à maille de 500 m. Les résultats d'un levé aérien de spectrométrie gamma représentent les concentrations moyennes à la surface, qui sont influencées par les études variables des affleurements, des mors-terrains, de la couverture végétale et de l'eau de surface. Par conséquent, les concentrations mesurées sont habituellement plus faibles que les concentrations réelles dans le substratum rocheux. Le débit naturel et la dose absorbée par l'air, en nanograys à l'heure, a été déterminé d'après les concentrations mesurées de potassium, d'uranium et de thorium. Les corrections pour la concentration équivalente au-dessus du niveau de la mer, de l'uranium, en fonction de la fraction de radon dans les résultats, ont également été effectuées au-dessus d'une bande d'étalonnage à Breckenridge, Québec. Les facteurs déterminés pour le potassium, l'uranium et le thorium étaient respectivement de 78.92 cps%, 6.07 cps/ppm, et 5.32 cps/ppm pour C-GNCA et de 74.39 cps%, 7.46 cps/ppm, et 4.823 cps/ppm pour C-FYAU.

Un filtre a été appliqué aux données corrigées, qui ont ensuite été interpolées suivant une grille à maille de 500 m. Les résultats d'un levé aérien de spectrométrie gamma représentent les concentrations moyennes à la surface, qui sont influencées par les études variables des affleurements, des mors-terrains, de la couverture végétale et de l'eau de surface. Par conséquent, les concentrations mesurées sont habituellement plus faibles que les concentrations réelles dans le substratum rocheux. Le débit naturel et la dose absorbée par l'air, en nanograys à l'heure, a été déterminé d'après les concentrations mesurées de potassium, d'uranium et de thorium. Les corrections pour la concentration équivalente au-dessus du niveau de la mer, de l'uranium, en fonction de la fraction de radon dans les résultats, ont également été effectuées au-dessus d'une bande d'étalonnage à Breckenridge, Québec. Les facteurs déterminés pour le potassium, l'uranium et le thorium étaient respectivement de 78.92 cps%, 6.07 cps/ppm, et 5.32 cps/ppm pour C-GNCA et de 74.39 cps%, 7.46 cps/ppm, et 4.823 cps/ppm pour C-FYAU.

Un filtre a été appliqué aux données corrigées, qui ont ensuite été interpolées suivant une grille à maille de 500 m. Les résultats d'un levé aérien de spectrométrie gamma représentent les concentrations moyennes à la surface, qui sont influencées par les études variables des affleurements, des mors-terrains, de la couverture végétale et de l'eau de surface. Par conséquent, les concentrations mesurées sont habituellement plus faibles que les concentrations réelles dans le substratum rocheux. Le débit naturel et la dose absorbée par l'air, en nanograys à l'heure, a été déterminé d'après les concentrations mesurées de potassium, d'uranium et de thorium. Les corrections pour la concentration équivalente au-dessus du niveau de la mer, de l'uranium, en fonction de la fraction de radon dans les résultats, ont également été effectuées au-dessus d'une bande d'étalonnage à Breckenridge, Québec. Les facteurs déterminés pour le potassium, l'uranium et le thorium étaient respectivement de 78.92 cps%, 6.07 cps/ppm, et 5.32 cps/ppm pour C-GNCA et de 74.39 cps%, 7.46 cps/ppm, et 4.823 cps/ppm pour C-FYAU.

Un filtre a été appliqué aux données corrigées, qui ont ensuite été interpolées suivant une grille à maille de 500 m. Les résultats d'un levé aérien de spectrométrie gamma représentent les concentrations moyennes à la surface, qui sont influencées par les études variables des affleurements, des mors-terrains, de la couverture végétale et de l'eau de surface. Par conséquent, les concentrations mesurées sont habituellement plus faibles que les concentrations réelles dans le substr